昭和55年度1~2月期における人工衛星及び人工衛星打上げ用ロケットの打上げ結果の評価について

(報告)

昭和56年6月

宇宙開発委員会第四部会

昭和55年度1~2月期における人工衛星及び 人工衛星打上げ用ロケットの打上げ結果の評価 について

昭和 5 6 年 6 月 1 2 日 宇宙開発委員会第四部会

宇宙開発委員会第四部会は、昭和55年度1~2月期において宇宙開発事業 団が行ったNロケット7号機(F)(N-IIロケット1号機)による技術試験 衛星N型(ETS-N)の打上げ及び東京大学宇宙航空研究所が行ったM-3S ロケット2号機による第7号科学衛星(ASTRO-A)の打上げの結果を評価す るために必要な技術的事項について、昭和56年5月7日以来、慎重に調査審 議を行ってきたが、このたびその結果をとりまとめたので報告する。

IN	ロケット1号機(F)(N-Ⅱロケット1号機)による
147	対試験衛星Ⅳ型(ETS一Ⅳ)の打上げ 1
1. j	汀上げの概要 1
2. ž	丁上げ結果の分析と今後の対策 3
π м-	- 3 Sロケット2号機による第1号科学衛星
(.	A S T R O — A) の打上げ 7
1. ‡	打上げの概要 7
2. ‡	打上げ結果の分析と今後の対策 10
III 総	合 意 見
参考 1	・ 昭和 5 5 年度 1 ~ 2 月期における人工衛星及び
	人工衛星打上げ用ロケットの打上げ結果の評価
	に関する審議について 24
参考 2	宇宙開発委員会第四部会構成員25

domination of the company of

I Nロケット 7号機(F)(N-Ⅱロケット 1号機)による 技術試験衛星N型(ETS-N)の打上げ

1. 打上げの概要

(1) 目 的

今回の打上げは、Nロケット7号機(F)(NーIIロケット1号機)によって技術試験衛星N型(ETS-N)を所定の軌道に投入することにより、新たに開発したN-IIロケットの性能確認を行うとともに、併せて宇宙機器に関する搭載実験を行うことを目的としたものである。

(2) N-IIロケット1号機の概要

N-IIロケットは、全長約35m、外径約2.4m、発射時の総重量約135トンの3段式ロケットで、重量約350kgの静止衛星を打ち上げる能力を有している。N-IIロケットは、N-Iロケットを軸として、固体補助ロケットの増強、第1段推進薬タンクの改良、第2段液体ロケットの高性能化、誘導制御システムの高精度化等を図ったものであり、その形状及び主要諸元は、それぞれ図1及び表1に示すとおりである。

(8) 技術試験衛星 N型(ETS-N)の概要

ETS-Nは、直径約2.1 m、高さ約2.8 mの円筒型をした人工衛星で、打上げ時の衛星重量(アポジモータの代りのダミーウェイトの重量を含む)は約638 kgである。ETS-Nの分解図及び主要諸元は、それぞれ図2及び表2に示すとおりである。

また、ETS-Nに搭載した4種類の実験機器の概要は表3に示すと おりである。

量 (4) 《加格》 (5) 《日本 《日教教教》 (5) 第二次 (4) 《北海》 (4) [2] [3]

(4) 打上げの経過及び結果

発射時刻:昭和56年2月11日17時30分

(日本標準時,以下同じ)

打上 げ場所:宇宙開発事業団種子島宇宙センター

発射方位角:92.5°

発射時の天候:快晴,北西の風 3.9 m/s, 気温 1 0.3°C

第1段液体ロケット及び固体補助ロケットの燃焼は正常で、固体補助ロケットの切離し、第1段ロケットの切離しに引続いて第2段液体ロケットの第1回燃焼、約4秒間の第2回燃焼も正常に行われた。また、この間慣性誘導装置も正常に作動した。

その後、第3段スピンアップ、第2段切離し及び第3段固体ロケットの燃焼が正常に行われた。引き続いて発射後約27分33秒に計画通り衛星と第3段ロケットとの分離が行われ、ETS-IVは次に示すように所定のトランスファ軌道に投入されて「きく3号」(KIKU 3)と命名された。なお、衛星分離後の第3段ロケットからのヨーウェイト放出は、テレメトリデータでは確認されなかった。

	· · · · · · · · · · · · · · · · · · ·	the second of th	
	計 画 値	実 測 値	•
近地点高度(km)	2 2 4. 9	2 2 3.4	
遠地点高度(㎞)	3 5, 9 7 4. 2	3 6, 0 1 1. 3	G;
軌道傾斜角(°)	2 8. 5 0	2 8. 6 3	
周 期(分)	6 3 5. 2	6 3 5. 9	

(昭和56年2月11日17時56分21秒現在)

医克罗斯氏氏液 医外腺性原性原性原因 医电流减减性 经收益 电电极电流 医抗性

(第3段燃焼終了時)

トランスファ軌道上では、姿勢制御系の電源投入後, デレメトリデータに一部異常が発見されたが、姿勢制御系の機能の確認の結果、運用上

支障がないことが確認された。その後2回の姿勢制御でアポジモータ点 火の姿勢が確立され、さらに衛星のスピン軸を赤道面に垂直にする姿勢 制御が1回行われて、所定の姿勢が確立された。なお、この間に、推進 剤タンク圧力のテレメトリデータに異常表示が発見されたが、運用上は 支障なかった。

衛星の機能の確認は昭和56年3月13日に終了し、前述のテレメトリデータの異常を除いて、衛星基本機器及び4種類の搭載実験機器の動作が正常であることが確認された。

なお, ETS-Wはその後も順調に作動し, 定常段階での運用, 実験に供され, 昭和56年5月12日をもって当初計画したデータ取得を完了した。(この後も運用, 実験は可能な限り続けられる。)

2. 打上げ結果の分析と今後の対策

前述のとおり、 $N-\Pi$ ロケット1号機により $ETS-\mathbb{N}$ が所定の軌道に投入され、 $N-\Pi$ ロケットの性能を確認するために充分なデータが得られ、また、 $ETS-\mathbb{N}$ の運用、搭載実験機器による実験も順調に行われたことから、所期の目的は達成されたものと考えられる。

なお、ヨーウェイト放出の未確認、姿勢制御系のテレメトリデータの一部及び推進剤タンク圧力のテレメトリデータの異常表示に関する分析と今後の対策は次のとおりである。

(1) ヨーウェイト放出の未確認

第3段ロケットと衛星の分離後の第3段テレメトリ信号は、クリスマス 移動追跡所において、約3.5 秒間だけ低仰角(約2度以下)の不安定な 受信状態で受信された。このテレメトリデータを分析した結果、衛星分 離の約1.95秒後にヨーウェイト放出のためのカッターへの通電が正常 に行われたことは確認されたが、その後仰角が低くなって電波が受信されなくなるまでの約1.5秒間のテレメトリデータの記録には、ヨーウェイトが放出された形跡は見出されなかった。

N-Ⅱロケット1号機のヨーウェイト放出機構は図3のとおりであり、 このヨーウェイト放出機構及びこれを装着した衛星分離部は米国のデル タロケットで十分に実績があるものである。(注)

ョーウェイトの放出が正常でなかった原因については、Fault Tree Analysis (FTA)の手法を用い、考えられるすべての事項について検討するとともに、疑いの残った事項について不具合再現試験を行った。その結果、カッターで切断された電気ハーネスの切断部分に予想以上のふくらみが生じ、電気ハーネスが抜けにくくなったことが原因と推定される。切断部分に予想以上のふくらみが生じ電気ハーネスが切断後抜けにくくなったのは、電気ハーネスの径のはらつきまたは切断に伴う形状のばらつきによるものと考えられる。

従って、今後は、ばらつきがあっても確実にヨーウェイトが放出されるよう、改善策を讃する必要がある。

- (注) なお、実験用静止通信衛星(ECS)の打上げ結果の評価を踏まえて、ECS-b に対して施し実績のある対策(スウェージボールの形状変更、ジャンピング防止用 クリップの追加、ハイロックボルトの使用及びリリースケーブルの材質の変更)を 施してあり、また、最終の組立てを日本において行っている。
- (2) 姿勢制御系テレメトリデータの一部の異常

衛星の姿勢制御系のテレメトリデータのうち太陽角とスピンレートの データが、時々異常な値を示す現象が起こっている。

姿勢制御機能の確認を行った結果、姿勢やスピンレート自体は正常であることが確認されており、また衛星の運用においては、地球センサを用いて姿勢を決定できるので支障は生じていない。

検討の結果、原因は太陽センサのスリットの部分における光の不要な 反射であることが判明しているので、今後同じ太陽センサを使用する場 合に備えて改善策の検討を行っておく必要がある。

(3) 推進剤タンク圧力のテレメトリデータの異常

ガスジェット系の推進剤タンク圧力は推進剤の消費に伴って連続的に 変化するはずであるが、タンク圧力のテレメトリデータは不連続な変化 を示した。

推進剤タンク圧力自体は、衛星の姿勢制御の結果から正常であったことが確認されており、またテレメトリデータが異常を示し続けた場合であっても、ガスジェット噴射の回数等をもとに推進剤消費量を管理することができるため、衛星の運用においては支障のないものである。

テレメトリデータが不連続に変化した原因は、計測系の異常によるものと推定されるので、今後同じ計測系を用いる場合に備えて改善策の検 計を行っておく必要がある。

M-3Sロケット2号機による第7号科学衛星 (ASTRO-A)の打上げ

1. 打上げの概要

(1) 目 的

今回の打上げは、M-3 Sロケット 2 号機によって第 7 号科学衛星 (ASTRO-A)を所定の軌道に投入することにより、昭和 5 5 年~ 5 6 年をピークとする太陽活動極大期における太陽フレア現象について、その X線二次元像及びスペクトルの観測を行うことを主目的としたもの である。

(2) M-3 Sロケット2号機の概要

M-3 Sロケット 2 号機は全長約 2 4 m, 直径約 1. 4 m, 発射時の総 重量約 5 0 トンの 3 段式固体ロケットで、その形状及び主要諸元は図 4 及び表 4 に示すとおりである。

第1段はM-13モータ,推力方向制御(TVC)装置,ロール制御用固体ロケット(SMRC)装置,8本の補助プースタなどで構成されている。

第2段はM-22モータ, TVC装置, サイドジェット装置等で構成されている。

第3段はM-3Aモータ等で構成されており、その上部に第7号科学衛星(ASTRO-A)が搭載され、全体がノーズフェアリングで包まれている。

(3) 第7号科学衛星(ASTRO-A)の概要

ASTRO-Aは衛星本体が対面距離92.8cm, 高さ81.5cmの8角

柱で、軌道上で4枚の太陽電池パドルを展開する。衛星重量は190kgであり、その外観及び構造は、それぞれ図5及び図6に示すとおりである。

ASTRO-Aの主要な科学観測装置及びそれによる観測の概要は次のとおりである。

(i) 太陽 X 線二次元像観測装置

回転すだれコリメータにより、太陽フレアの硬 X線の二次元像を撮像するもので、太陽フレアの位置、形状及びその時間変化を3秒毎に記録する。

(ii) 太陽硬X線モニタ装置 太陽フレアで発生する硬X線のスペクトルとその時間変化を測定す る。

(ii) 太陽ガンマ線観測装置 太陽フレアの際の核反応で発生する特性ガンマ線を測定する。

(iv) 太陽フレア軟 X線輝線スペクトル装置 太陽フレアの高温プラズマで作られる鉄イオンからの多数の特性 X 線スペクトルを 6 秒毎に精密に観測する。

(V) 太陽フレアモニタ装置 太陽フレアの軟 X線を高い分解能で測定し、高温プラズマの温度を 測る。

(VI) 粒子・X線モニタ装置 放射線帯からの降下粒子を測定し、太陽フレアに伴う磁気圏じょう

(Vii) プラズマインピーダンス測定装置

乱による影響等をモニタする。

地球周辺プラズマの電子密度等を計測し、太陽活動の及ぼす影響を調べる。

(VIII) プラメマ電子温度測定装置

地球周辺プラズマの電子温度を計測し、太陽活動極大期における電 雌州プラズマの特性をモニタする。

(4) 打上げ経過及び結果

発射時刻:昭和56年2月21日9時30分(日本標準時)

打上げ場所:東京大学鹿児島宇宙空間観測所

発 射 角:上下角 6 7.5°, 方位角 9 9.5°

発射時の天候:快晴,北西の風1.0 m/s,気温6.5°C

各段ロケットの燃焼及び飛しょうは正常で、第1段及び第2段の推力 方向制御と衛星打出し前の姿勢制御も順調に行われた。第3段はコマン ト電波による点火秒時の修正に従って点火され、ASTRO-Aはスピン数毎秒2.2回で次に示すようにほぼ所定の軌道に投入されて「ひのと り」(火の鳥、HINOTORI)と命名された。

	計画値	実 測 値
近地点高度(km)	5 7 2	5 7 6
遠地点高度(㎞)	7 2 7	6 4 4
軌道傾斜角(°)	3 1. 5	3 1. 3
周 期(分)	9 7. 7	9 6. 9

(昭和56年2月21日現在)

一周の時点においてヨーヨーデスピナにより衛星のスピン数が毎秒 2.2回から毎分 5.4回に落とされたのち、太陽電池バドルが展開され、これによりスピン数は毎分 4.3回となった。このあと衛星のスピン軸を太陽方向に向ける姿勢制御が行われ、この姿勢で2月26日には全観測機器が定常観測態勢に入った。

定常観測態勢に入った直後、2月27日には大きな太陽フレアを捕捉し、各観測機器は良好なフレアデータを記録した事が確認された。以後、4月20日までに大小100個の太陽フレアを観測し、それ以後も順調に観測が行われている。

観測結果の例を図りに示す。

2. 打上げ結果の分析と今後の対策

前述のとおり、M-3 S ロ ケット 2 号機により打ち上げられた ASTRO-A は、軌道投入後、予定した観測を順調に継続しており、所期の目的を達成したと考えられる。

なお、第1段TVC装置の動作について分析した結果は次のとおりである。 昭和55年2月に打ち上げられたM-3Sロケット1号機では、第1段 TVC装置の異常動作により、TVC動作中に横方向の振動が起こり、5G 以上の加速度が測定されていた。これは機体の第3次曲げ振動と制御系の干渉によるものであったため、今回、2号機では制御系の定数の見直しが行われ、その結果、第3次曲げ振動と制御系の干渉による自励振動は除去された。 今回は、1号機では識別できなかった第2次曲げ振動(10.2 Hz)と制御系の干渉による振動がわずかに認められており、その加速度は1G(全振幅)であった。この振動についても1号機の場合と同様に改善を行うよう努力することが望ましい。

■総合意見

宇宙開発事業団が実施したNロケット 7 号機(F)(N-IIロケット 1 号機)による技術試験衛星 N型(ETS-N, きく3号)の打上げについては、重量約350 Kgの静止衛星に相当する衛星が初めて我が国のロケットによりトランスファ軌道に投入され、N-IIロケットが予定した性能を有していることが確認され、また、衛星搭載実験機器が宇宙環境下で正常に作動することが確認されていることから、所期の目的を達成したものと考えられる。

なお、これらの打上げにおいて得られた経験を、今後の開発に十分活かす 必要がある。

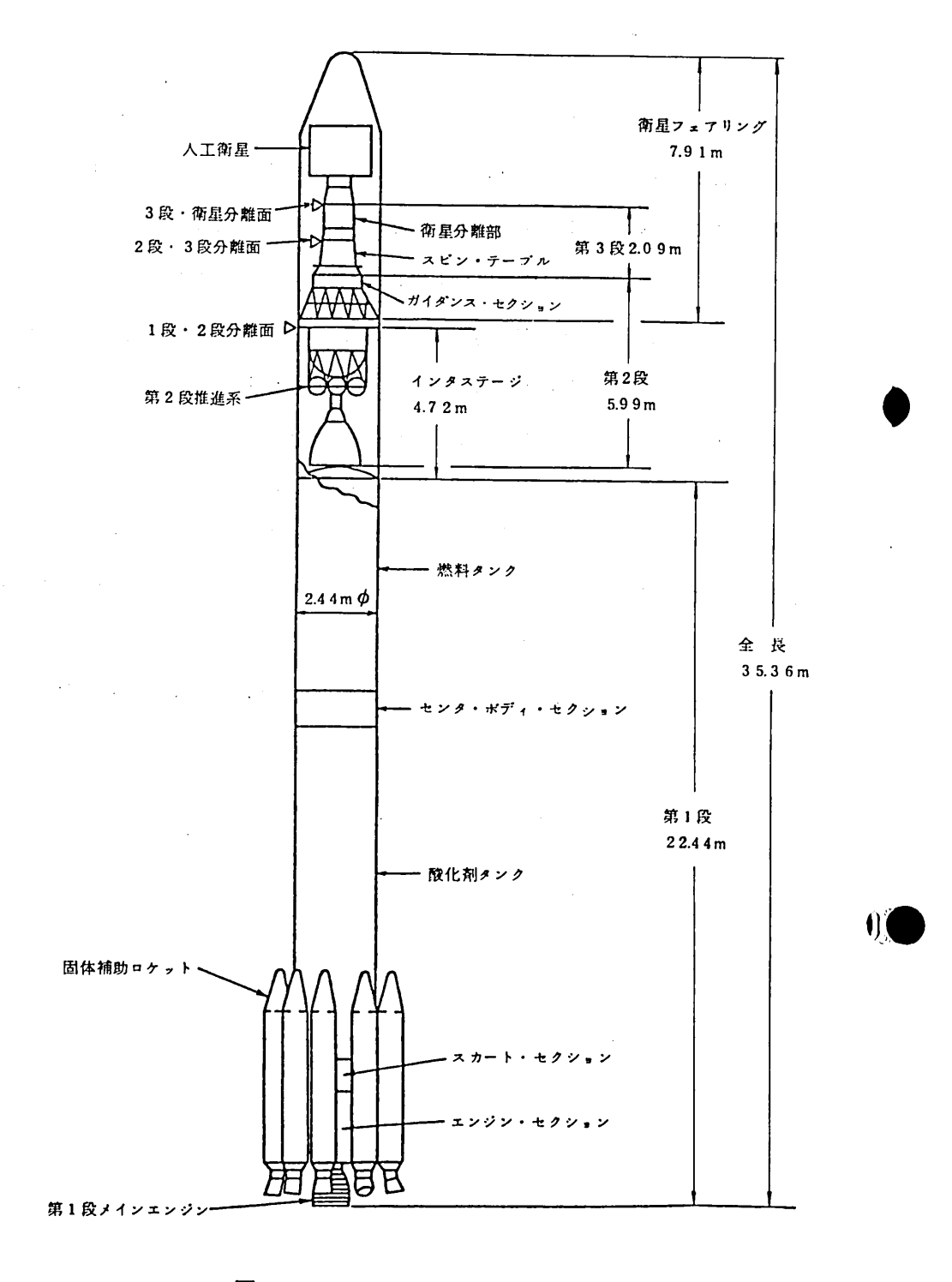


図1 N-Ⅱロケットの形状

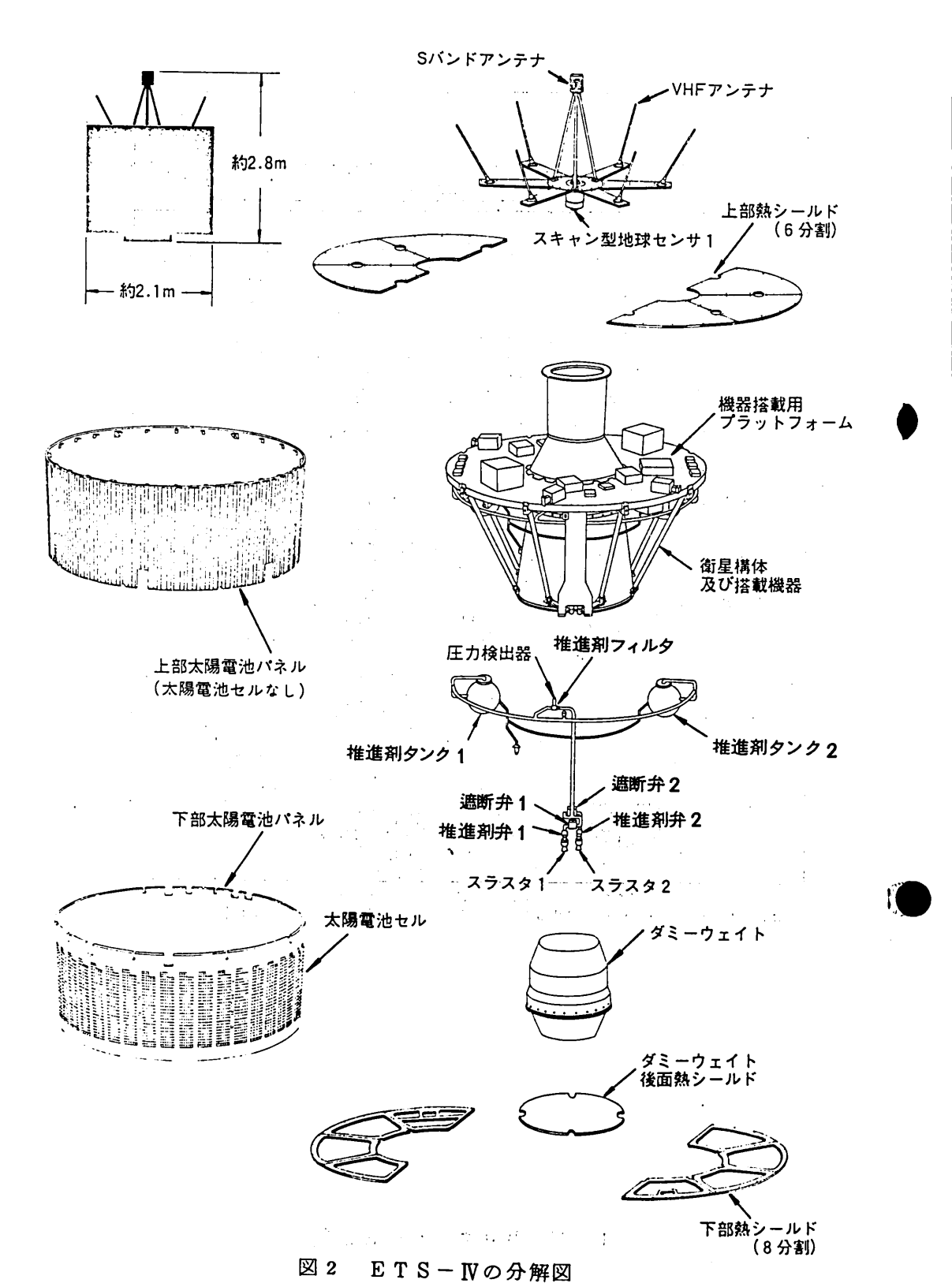
	全段	
全 12 (m)	3 5. 3 6	
(1 (1 (m)	2.4_4	
全段 重量 (1)	1 3 4.7 2 (人工衛星の重量は含まない)	
45 游 方 式	慣性誘導方式	

	各 段					
		第 1 段	曽佐補助	第 2 段	第 3 段	衛 星 フエアリング
全 長	(m)	2 2.4 4	7.25	5.9 9	(固体至一多長)	7.91
外 徑	(m)	2.4 4	0.7 9	2.4 4	(固体モータ長)	2.4 4
各段而量	(t)	85.95(性1)	40.25(9本分)	6.6 7	1.2 5(胜2)	0.60
加加州东社	(1)	8 1.4 3	33.76(9本分)	6.0(最大)	1.0 5	. /
平均推力	(t)	メインエンジン 77(柱3) パーニアエンジン 0.49×2(柱3)	142(6本分) (胜3) (胜5)	4.47(在4)	(在4) 6.79	
四级四归	(s)	メインエンジン 269 バーニアエンジン 275	38	426	4 3.6	
推進薬種	類	液化酸素/RJ-1	ポリプタジエン系 コンポジット 固体推進薬	四酸化二窒素/ エアロジン 50	ポリプタジエン系 コンポジット 固体推進薬	
推進薬供給	方式	ターボボンプ		ヘリウムガス押し		/
比推力	(s)	メインエンジン 249(注3) パーニアエンジン 209(注3)	(胜3) 238	(在4) 314	(在4)	<u> </u>
姿勢制御 ロー	3 –	ジンバル		ジンバル(推力飛行中) ガスジェット (慣性飛行中)		
御	ル	バーニアエンジン		ガスジェット		<u>/</u>
搭載電子	挨 置	1) テレノータ 送信装置 290 MHz 帯 PDM/FM/PM 2) 指令砂峻交信装置 2.6 GHz 帯 トーン変調		1) レーダトランス ボンダ 5 GHz 帯 (2台) 2) テレメータ 送信装値 2.2 GHz 帯 P C M/ P M 3) 指令破壊受信装値 2.6 GHz帯(2台) トーン変調	290MHz带 FM/PM	

(世1) インタステージを含む。 (世2) スピンテーブルを含む。 (世3) 海面上。 (世4) 真空中。 (世5) 打上げ時は6本のみ燃焼,6本の燃焼終了後残り3本を燃焼させる。

表1 N-Ⅱロケットの主要諸元

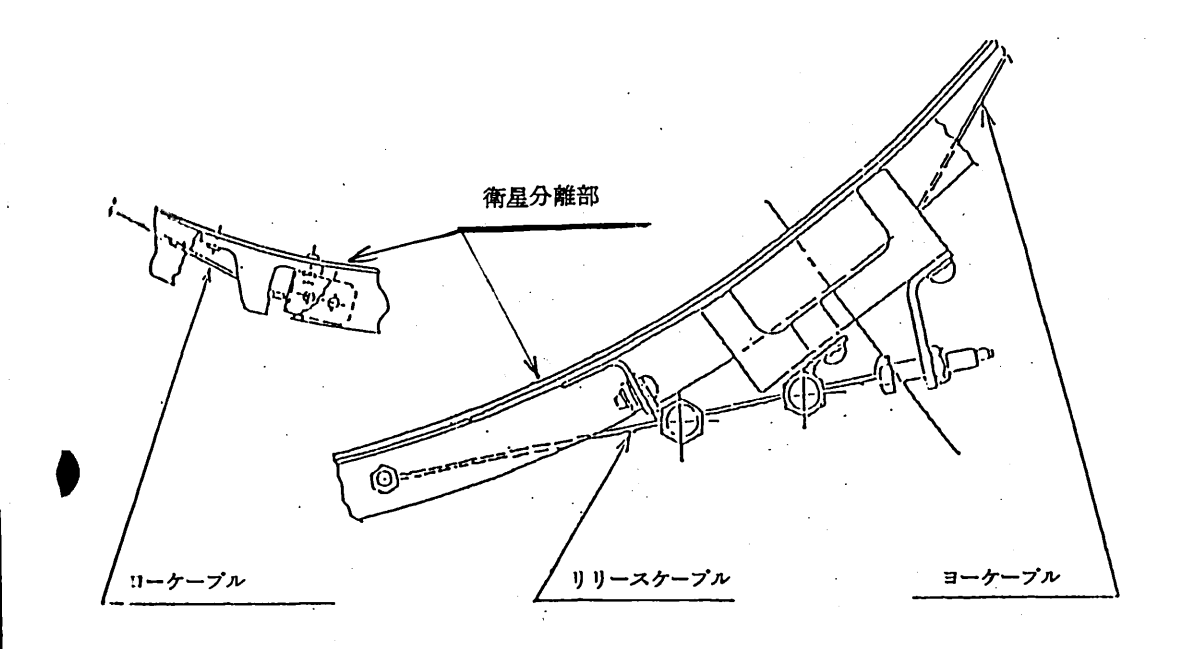
 $((x_i)_{i=1}^n, (x_i)_{i=1}^n, (x_i)_{i=1}^n) \in \mathbb{R}^n$



項目	性能	備考
形状	円筒形 直径 約2.1 m 高さ 約2.8 m	N-Ⅱロケットに適合する。
姿勢安定	スピン安定方式	スピン率60±6rpm 慣性モーメント比>1.05
ガスジェット	一液式ヒドラジン推進剤 推進剤搭載重量 約13.3 kg アキシャルスラスタ 2 個 スラスタ推力 約1.8kg (公称値)	スラスタ噴射の地上コマンド を受けて衛星姿勢修正,能 動型ニューテーション 制御 を行う。 N ₂ ガスで約300 psia に加圧する。
グミーウエイト	アポジモータの代りにダミ ーウェイトを搭載する。 重量約340.5 kg	ダミーウェイトは実推進薬充 塡構造とし、衛星落下の際に 消滅する。
熱 制 御	受動式:推進剤タンク,配管 等部分的にヒータを用いる。	外部との熱伝達は主として衛星 側面にて行う。
構体	モノコック・シェル構造 第一次固有振動数 横方向 15 Hz以上 軸方向 35 Hz以上	中央円筒と、上端でプラット フォームを支持する8本の支 柱で構成されている。搭載機 器は一枚のプラットフォーム 上下面に取り付けられている。
重 显	打上げ時 約638kg 寿命末期 約625kg	
ミッション期間	3ヶ月	
信 頼 度	3ヶ月の運用期間における 残存確率は90%以上 (搭載実験機器は除く)	
軌 道	近地点高度 約230km 遠地点高度 約36,000km 軌道傾斜角 約28.5度	長楕円軌道 (静止軌道投入のためのトラン スファ軌道)

表2 ETS-IVの主要諸元

性 能	備	考
テープレコーダ 記録時間 40分	軌道上でテスト信	号を記録再生する。
トラック数 3 重 量 12.2 kg 消費電力 6.1±1W以	下 記録モード時	
スキャン型地球センサ 重 量 15.7 kg	における動作を確	センサの宇宙環境 認する。
消費電力 12.6±3.4V ガリウムひ素 FET 増巾器 重 量 5.9 kg	,	「での動作を確認す
消費電力 11.0±1.5	w	ける噴射実験及び性
推進材 テフロン 重 量 21.4 kg 消費電力 20W以下	能確認を実施する	•
10000000000000000000000000000000000000		



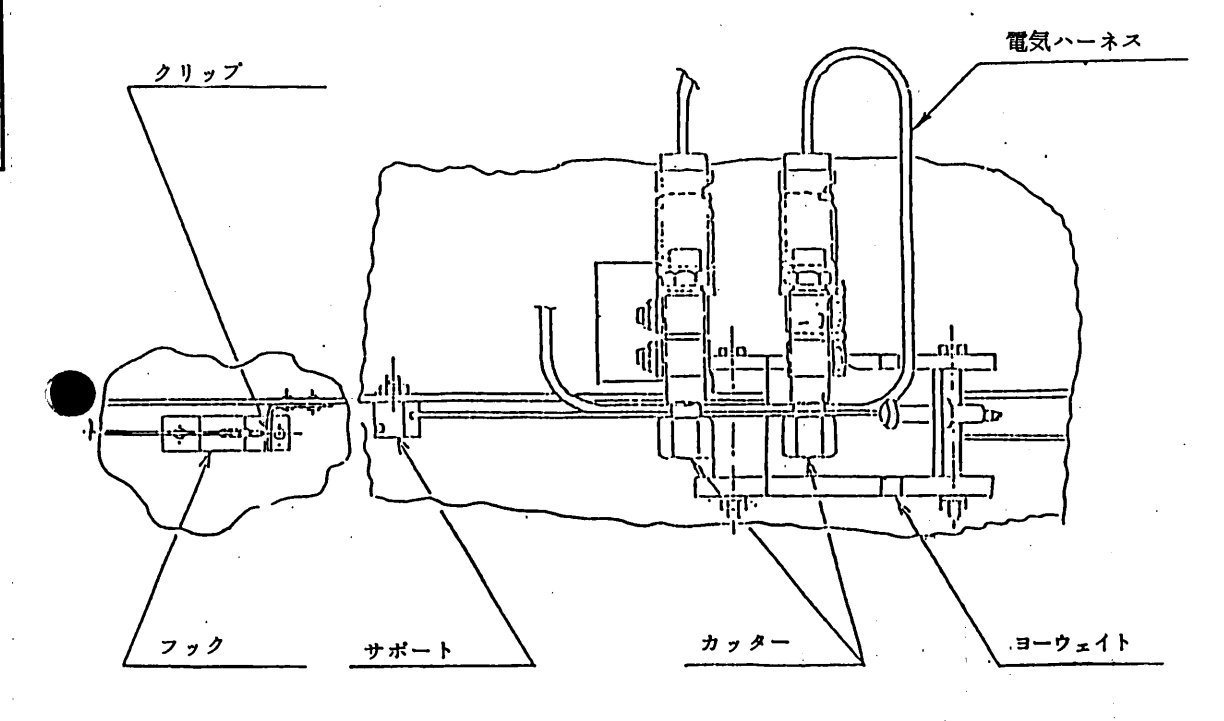
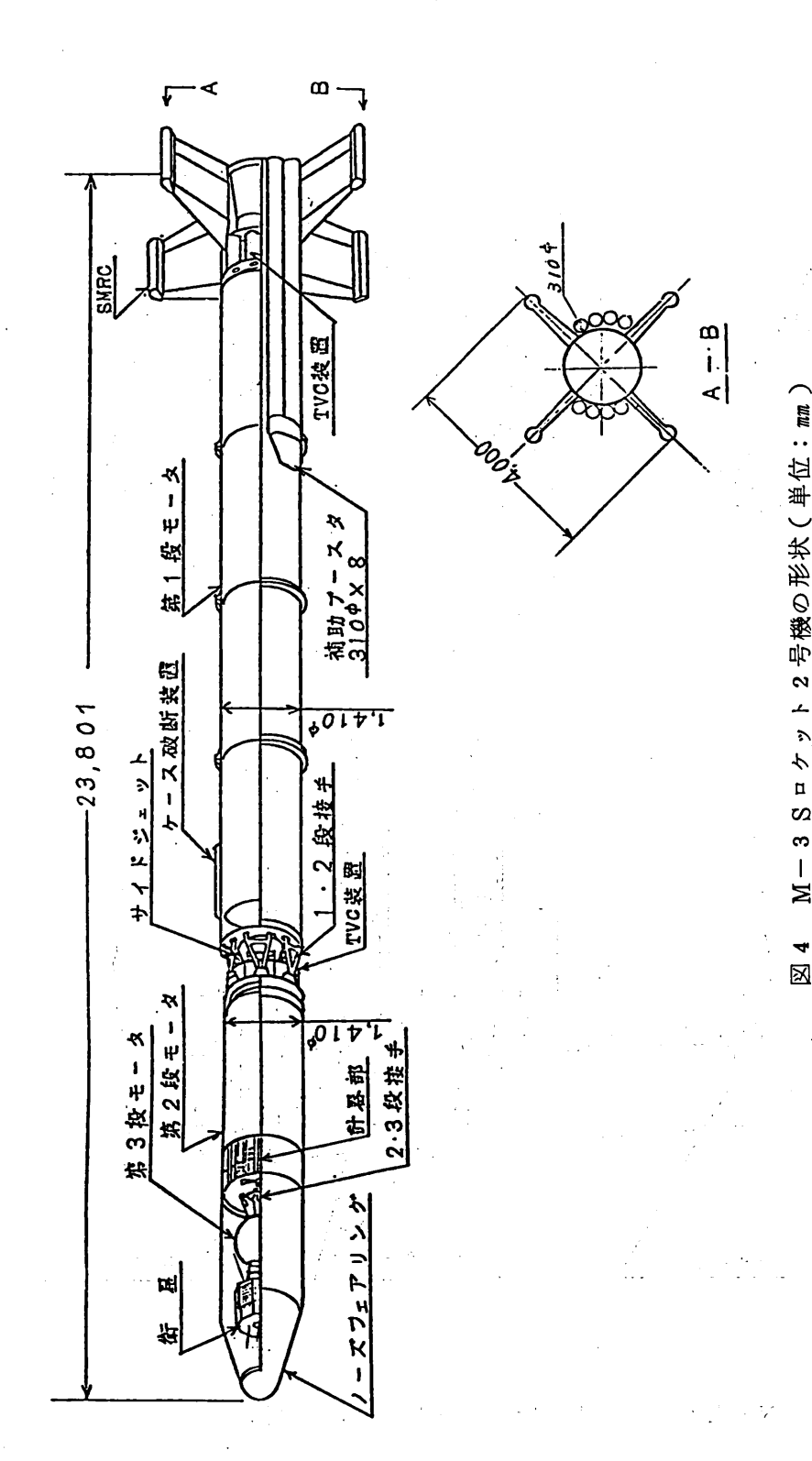


表 3 ETS-Ⅳ搭載実験機器の概要

図3 N-Ⅱロケット1号機のヨーウェイト分離機構



	1 段	2 段	3 段
全 長(m)	2 3.8 0	8.9 0	2.5 0
直 径(m)	1.4 1	1.4 1	1.1 4
各段点火時重量 (t)	4 5.4 4.1 (SB) 4 9.5	1 1.1	1.2 3 5 0.1 9 0(SA) 1.4 2 5
推進薬重量(t)	2 7.1 2.7 (S B) 2 9.8	7.2 1	1.0 9
平 均 推 力(t)	1 1 4 1 0 9 (S B) 2 2 3	3 6.4	6.8 2
燃 焼 時 間 (sec)	7 0 7.7 (SB)	7 2	5 3

S A:衛星(ASTRO-A)

SB:補助プースタ

表 4 M-3Sロケット2号機の主要諸元

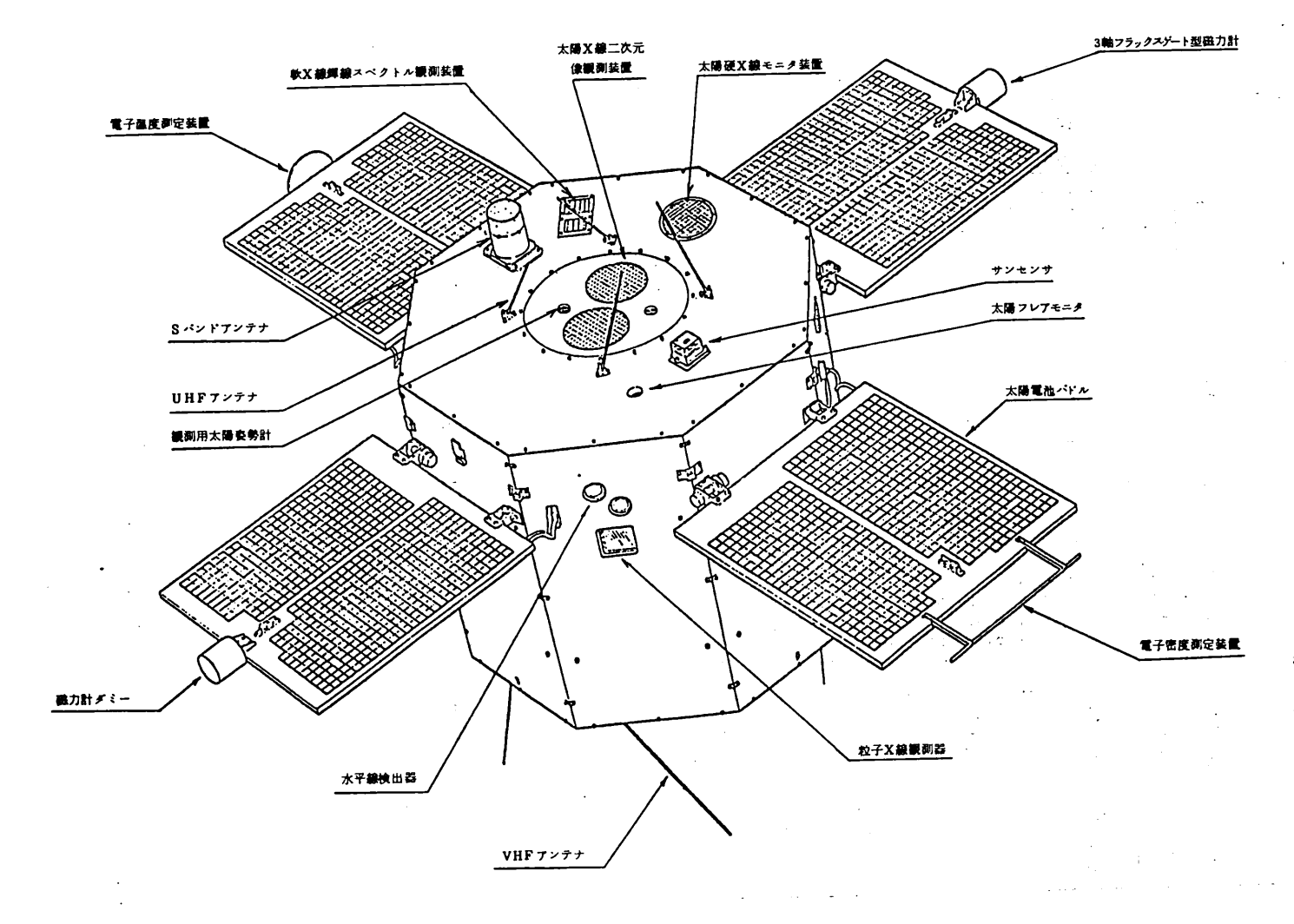


図 5 ASTRO-Aの外観

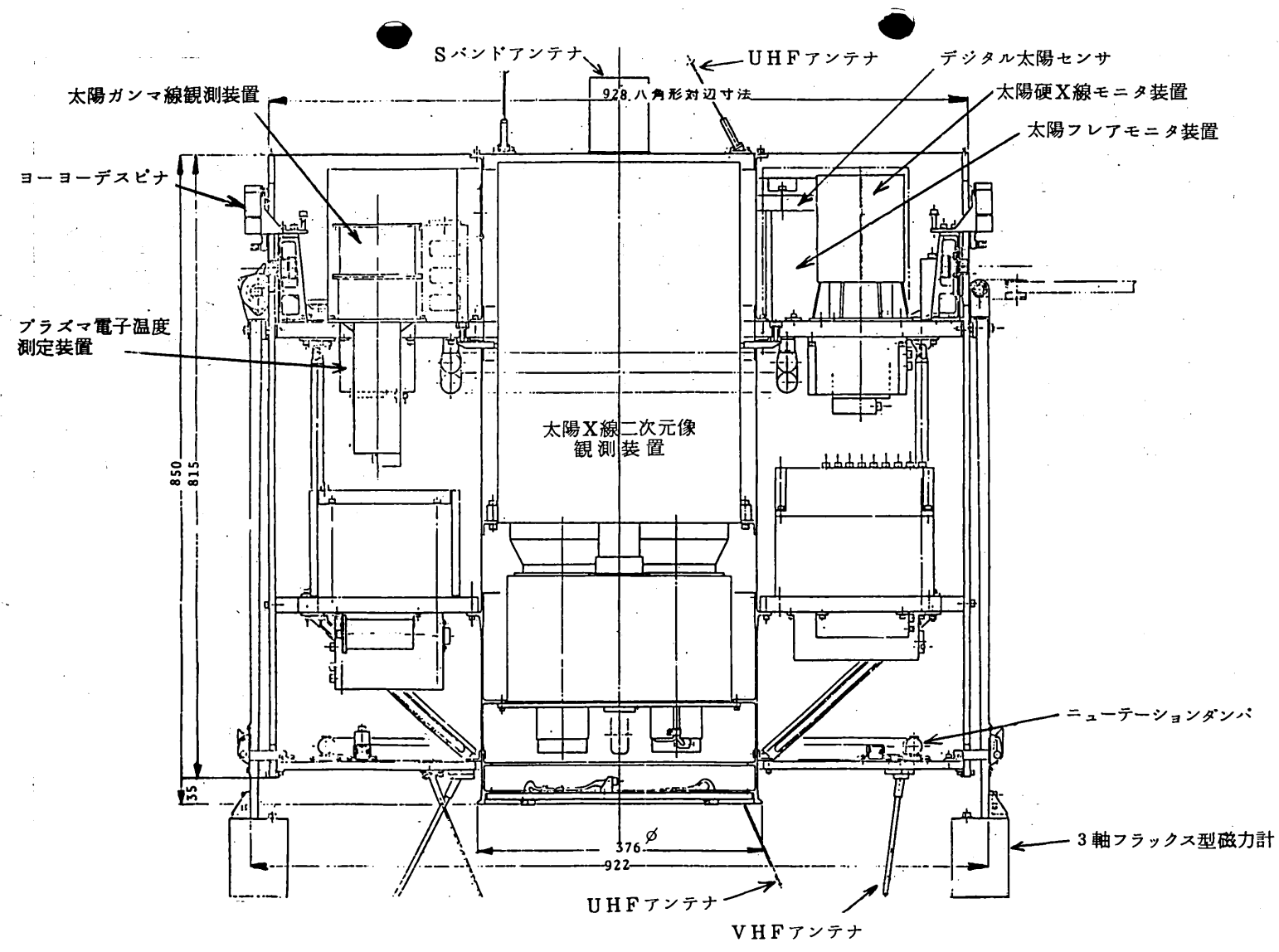
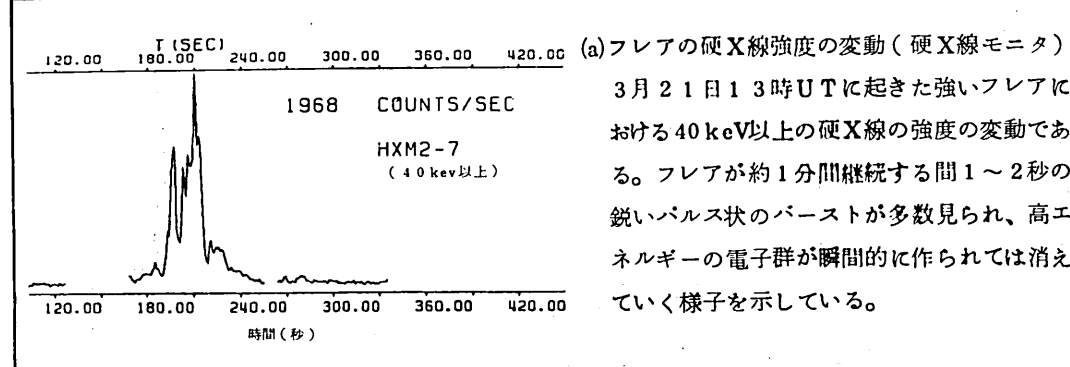
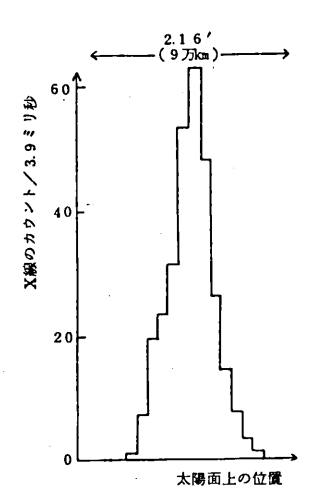


図 6 ASTRO-Aの構造 (単位: mm)

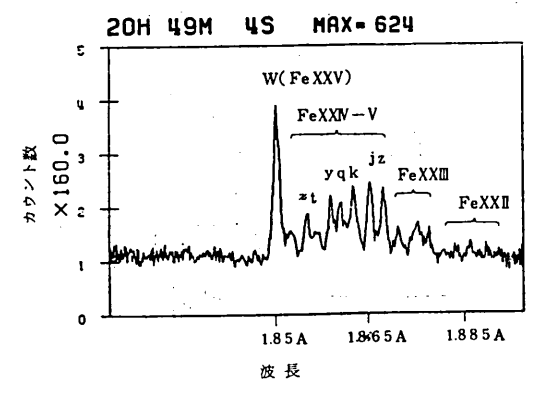


3月21日13時UTに起きた強いフレアに おける40keV以上の硬X線の強度の変動であ る。フレアが約1分間継続する間1~2秒の 鋭いパルス状のパーストが多数見られ、高エ ネルギーの電子群が瞬間的に作られては消え ていく様子を示している。



(b)フレア像(太陽X線二次元像観測器)

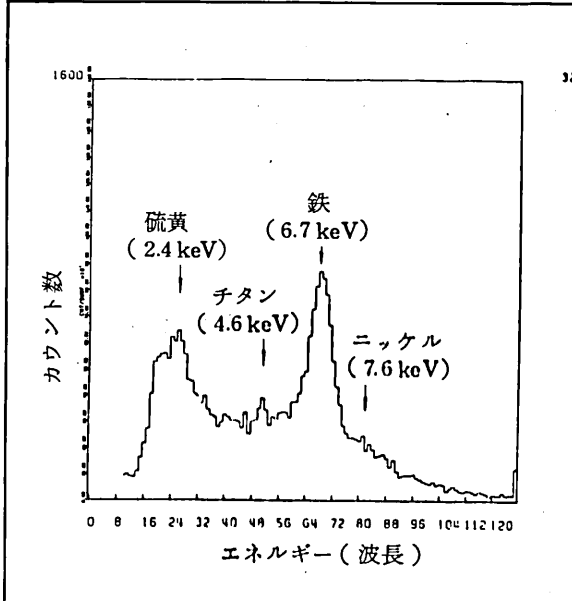
2月26日20時50分UTに太陽の縁で起 きた大きなフレアの硬X線をすだれコリメー タを通してみた一次元像である。強いX線 を出している場所が10秒角以下(太陽面で 7000km以下)の狭い領域であることがわ かった(17-60keVの高エネルギーのX 線でフレア像が調べられたのは初めてであるう 更に計算機処理をして太陽面上での二次元像 が得られる。

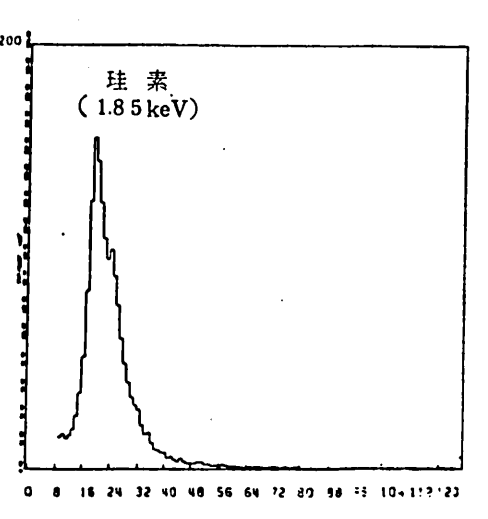


(c)鉄輝線スペクトル(軟X線輝線スペクトル観

1.85 A (6.7 keV) 付近の鉄輝線群だけを とりだして水晶のプラッグ反射により分光し、 スペクトルの微細構造を明らかにしたもの。 波長分解能(0.0002A)はこれまでの最 高であり、1.85A~1.88Aの間に20本 以上の輝線が同定された。輝線の強度変化か ら高温プラズマの温度が2000万度、輝線巾 からプラズマが毎秒100kmの激しい乱流状 態にあることが直ちにわかる。

図7 ASTRO-A観測結果の例





(d) 0.5 keV~1 2 keV の軟 X線スペクトル(太陽フレアモニタ)

静かなときの太陽のスペクトル(右)に較べ、フレアが起ると鉄イオンの放射する輝線 (6.7 keVを中心とする)が著しく強くなるのが示される。(フレアで生成される高温プラズマの 中で鉄原子がほとんどの電子をはぎとられて大量のイオンに変る様子がわかる。)この検出 器はエネルギー分解能が優れているため鉄の他珪素、硫黄、カルシウム、チタン、ニッケル のイオンが放射する輝線群を初めて分離することが出来た。

図7 つづき

昭和55年度1~2月期における人工衛星 及び人工衛星打上げ用ロケットの打上げ結 果の評価に関する審議について

昭和 5 6 年 4 月 1 5 日 宇宙開発委員会 決定

- 1. 昭和55年度1~2月期において東京大学宇宙航空研究所が行ったM-3 Sロケット2号機による第7号科学衛星(ASTRO-A)の打上げ及び宇宙開発事業団が行ったNロケット7号機(F)(N-Ⅱロケット1号機)による技術試験衛星Ⅳ型(ETS-Ⅳ)の打上げの結果を評価するために調査審議を行うものとする。
- 2. このため、評価に必要な技術的事項について、第四部会において調査審議 を行うものとする。この調査審議は、昭和56年5月末までに終えることを 目涂とする。

参考2

宇宙開発委員会第四部会構成員

昭和56年6月

(50音順)

部 会 長 佐 貫 亦 男 日本大学理工学研究所顧問

部会長代理 内 田 茂 男 名城大学理工学部教授

専門委員 ※秋 萊 鐐二郎 文部省宇宙科学研究所教授

※大 島 耕 一 文部省宇宙科学研究所教授

栗 原 芳 髙 郵政省電波研究所長

五 代 富 文 科学技術庁航空宇宙技術研究所主任研究官

小 林 繁 夫 東京大学工学部教授

中 込 雪 男 国際電信電話株式会社取締役

長 洲 秀 夫 科学技術庁航空宇宙技術研究所 宇宙研究グループ総合研究官

※林 友 直 文部省宇宙科学研究所教授

*平 井 正 一 宇宙開発事業団理事

*平 木 一 宇宙開発事業団理事

前 田 弘 京都大学工学部教授

虫 明 康 人 東北大学工学部教授

- 注)※印の専門委員は、東京大学宇宙航空研究所が行った打上げの結果の調査審議については、説明者として参加した。
 - *印の専門委員は、宇宙開発事業団が行った打上げの結果の調査審議については、説明者として参加した。